

## کاربرد فتو دینامیک تراپی در عفونت های موضعی (قسمت دوم)

سید آسمیه رحیمی، دندانپزشک، مرکز تحقیقات لیزر در پزشکی جهاد دانشگاهی واحد علوم پزشکی تهران

Tiahong Dai<sup>1,2</sup>, Ying-Ying H<sup>1,2,3</sup>, Michael R Hamblin<sup>1,2,4,\*</sup>

Tianhong Dai<sup>1,2</sup>, Ying-Ying Huang<sup>1,2,3</sup> and Michael R Hamblin<sup>1,2,4,\*</sup>

<sup>1</sup> Wellman Center for Photomedicine, Massachusetts General Hospital, Boston MA

<sup>2</sup> Department of Dermatology, Harvard Medical School, Boston MA

<sup>3</sup> Aesthetic and Plastic Center of Guangxi Medical University, Nanning, P.R China

<sup>4</sup> Harvard-MIT Division of Health Sciences and Technology, Cambridge, MA

\* Corresponding author: Michael R Hamblin, PhD, 40 Blossom Street, BAR414, Wellman Center for Photomedicine, Massachusetts General Hospital, Boston, MA 02114-2696, Phone: (617) 726-6182, Fax: (617) 726-8566, Email: hamblin@helix.mgh.harvard.edu

### ۶. Leishmaniasis

لشمانيوز علت اساسی مرگ و میر در کشورهای در حال توسعه است و در ۸۸ کشور حالت آنديميك دارد. بسته به عوامل ژنتيكي ميزبان و نوع انگل لشمانيوز، عفونت ممکن است به پوست محدود شود یا تکثیر ميكروگانيسيم ها در غشاهای مخاطي- سبب گيري آنها شود (به عنوان مثال لشمانيوز مخاطي- پوستي) و یا در سراسر سيسitem رتیکولوندوتيليا به عنوان لشمانيوز احشائي گسترش پيدا كند. اخيراً، به علت اعزام ۱ درصد افرادي که در آمريكا خدمات ارائه مي دهند به خاورميانه که مرکز اين بيماري است، لشمانيوز پوستي نگرانی های زيادي را برانگixaخته است.

PDT و همكارانش [۶۰-۶۸] برای مطالعه اثر PDT در لشمانيوز پوستي از موش استفاده کردند. تقریباً  $1 \times 10^6$  انگل های متاسيكليک در ۱ml PBS به صورت داخل پوستي در گوش موش ماده BALB/c شش تا هشت هفته اي تلقیح شد. PDT سه هفته پس از عفونت انجام شد. حساسگر های نوري استفاده شده عبارت بودند از:

- (3,7Bis(N,N-dibutylamino)phenothiazinium bromide)(PPA904)

- acid-driven protoporphyrin IX(ALA)  
δ aminolevulinic

محل عفونت با استفاده از يك منبع نوري غير همگرا با طول موج ۶۶۵ نانومتر يا يك لیزر ديدو ۶۳۵ نانومتر تحت تابش قرار گرفت. موش ها ۵ روز پس از PDT کشته شده و ميزان انگل ها مورد ارزیابی قرار گرفتند. مشخص گردید که PPA904 با PDT تأثير به سزايد در از بين بدن انگل در invivo دارد [۳۵ و ۳۷]. ALA با PDT کاهش معنی داری را در ميزان انگل ها به همراه داشت اما، تخریب بافتی نیز به نسبت زياد بود.

۷. عفونت مایکوباكتریوم  
مایکوباكتریوم توبرکلوزیس به عنوان يك مشکل در سلامت عمومی، بیماری مسری، پیشرونده و نهفته تلقی می گردد. فرم نهفته این بیماری بیشتر است. سایر اشکال بیماری فعال و اغلب مسری است. اگرچه فقط ۱۰ درصد افراد مبتلا به توبرکلوزیس فرم فعال را منتشر می کنند، میزان مرگ و میر در حدود ۲ میلیون در سال، آن را به عنوان بیماری عفونی با بیشترین میزان کشندگی معرفی می کند.

O'Rriordan و همكارانش [۶۱ و ۶۲] از موش برای بررسی اثر PDT در عفونت موضعی مایکوباكتریوم استفاده نمودند. موش های BALB/c نر ۶-۸ هفته ای انتخاب شدند و در پشت هریک برشی با ضخامت کامل و يك پاکت subcutaneous با يك فورسپس استريل ايجاد گردید. کلاژن در لبه های زخم قرار گرفت و با بخیه نایلونی بسته شد. حساسگر نوري در اين مطالعه آزمایش شدند:

- Verteporfin(lipid-formulated benzoporphyrin derivative monoacid ring A)
- Benzo[a]phenothiazinium
- chloride,benzo[a]phenoselenazinium chloride.

برای رديابي حساسگر نوري استفاده شده در محل های real-time fluorescence monitoring آلوده از تکنيک بوسیله از مایکوباكتریوم invivo وجود داشت، گروهی BCG در گرانولوم های invivo برویس که با PDT درمان شده بودند در مقایسه با گروهی که درمان نشده بودند کاهش چشمگيری را در تعداد مایکوباكتریوم زنده نشان دادند.

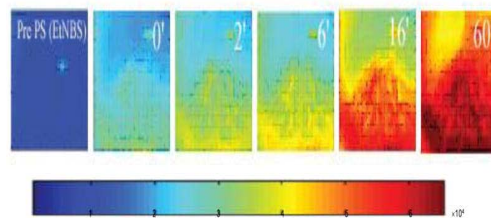
به روش غیر تهاجمی با استفاده از S.A مورد ارزیابی قرار گرفت و درصدی سیگنال بلا فاصله قبل از درمان برای هر کدام از نمونه‌ها بدست آمد. آلودگی‌ها پس از ۱۰ روز تحت PDT قرار گرفتند با استفاده از ALA ۷۵J/cm<sup>2</sup> (۳۰۰ mg/Kg) پس از ۴ ساعت، تابش نور (+/- ۶۳۵ نانومتر) از طریق بوست و با یک فیبر اپتیکی در تیبیا انجام گرفت و نتایج به صورت معنی‌داری تأخیر در رشد باکتری‌ها و ممانعت از تشکیل بیوفیلم کاشته شده در استخوان را گزارش نمودند.

#### ۱۰. عفونت ویروسی

Smetana و همکارانش [۷۴] گونه‌ای از خوک را به نام Hartley Guinae با ویروس تبخال آلوه کردند و HSV را به پشت آن‌ها مایه‌کوبی نمودند و این کار منجر به ایجاد عفونت موضعی پس از ۲۴ ساعت گردید. علایم آن به صورت قرمزی و تورم بود و حداکثر به مدت ۳ روز به طول انجامید. پس از ۳ تا ۶ روز وزیکول ایجاد شد و در طول هفتة دوم به مرور دلمه‌ها تشکیل گردید و پس از ۳ تا ۴ هفته بهبود کامل ایجاد شد. قرار گرفتن در معرض ALA یا نور در زمان‌های متفاوت پس از ایجاد عفونت، تأثیر واضحی بر روی علایم بیماری نداشت. تأثیر چشمگیر زمانی حاصل شد که ضایعات با ALA تا ۶ ساعت پس از ایجاد فوراً تحت PDT قرار گرفتند. مدت دوام وزیکول‌ها خیلی کوتاه بود و بهبود از روز سوم آغاز شد. هر چند مدت زمان ایجاد دلمه طولانی‌تر و قطر آن‌ها بجای ۳/۰ تا ۰/۵ سانتی‌متر در گروه کنترل، ۲ سانتی‌متر بود. مشاهده‌های کلینیکی به وسیله تیتر HSV جداسده از محل آلودگی تأیید شد. چهار روز پس از عفونت، تیتر HSV در حیواناتی که فقط ALA گرفته بودند و در گروه کنترل، به  $5 \log_{10}$  PFU رسید. اگرچه وقتی که از ALA به همراه نور استفاده شد، هیچ قابل کشت نبود. PDT به همراه ۲ روز پس از عفونت هیچ تأثیری بر روی تیتر HSV نداشت.

#### PDT در بیماری‌های عفونی

توانایی ترکیب نور و دارو برای کشتن میکروارگانیسم‌ها بیش از ۱۰۰ سال است که شناخته شده است [۷۵]. شکل ۹ دامنهٔ وسیعی از بیماری‌های عفونی را که ممکن است PDT بتواند در درمان آن‌ها مؤثر باشد، نشان می‌دهد. بعضی از کاربردهای PDT به ویژه در پوست شامل کاربرد موضعی پیش‌ساز 5-aminolevulinic acid و amino-acid که به عنوان MAL شناخته می‌شود، در روندی است که منجر به تجمع حساسگر نوری پورفیرین IX در سلول‌هایی می‌شود که دارای آنزیم‌های بیوسنتز هم (heme) می‌باشند و در شکل ۱۰ شرح داده



شکل ۸: ارزیابی Real time تجمع حساسگر نوری (EtNBS)

در گرانولومای زیر جلدی موش BALB/c با تصاویر فلورسانس، شدت فلورسانس بلا فاصله پس از تزریق حساسگر نوری تا ۶۰ دقیقه به صورت خطی افزایش یافت و پس از آن به ثبات رسید. رسیدن EtNBS به ایمپلنت کلاژن وابسته به زمان بود.

#### ۸. اوتیت گوش میانی

اوتیت گوش میانی همراه با ترشح (OME) پس از عفونت دستگاه تنفسی فوقانی شایع‌ترین بیماری دوران کودکی به حساب می‌آید. با وجود استفاده از آنتی‌بیوتیک‌های رایج، عوارض اوتیت گوش میانی همچنان به صورت قابل توجهی رخ می‌دهد یکی از مهم‌ترین عواملی که به انتشار بیماری کمک می‌کند، عفونت باکتریال می‌باشد.

Jung و همکارانش [۷۶] تأثیر PDT را در invivo بر روی هموفیلوس آنفولانزا و استرپتوكوک پنومونیا (شایع‌ترین گونه‌های ایجاد‌کننده OME) در موش بیابانی *Meriones unguiculatus* بررسی نمودند.  $1\text{ }\mu\text{l}$  از محلول باکتریایی *bullae* ( $10^7$  CFU) در داخل *H.influenzae* تحت شرایط استریل تزریق شد.

PDT دو روز پس از ایجاد عفونت به وسیله تزریق  $1\text{ }\mu\text{l}$  از محلول (mg/ml, ahematoporphyrin derivative) در داخل بولا و تباندن لیزر J. ۹۰ نانومتر با یک فایبر استریل به آن انجام شد. PDT در درصد بولاهای آلوهه با OME برای از بین بدن استرپتوكوک نومونیا مؤثر بود، در حالی که در ریشه کن کردن ۵۰ درصد از بولاهای آلوهه با *H.influenzae* تأثیر داشت.

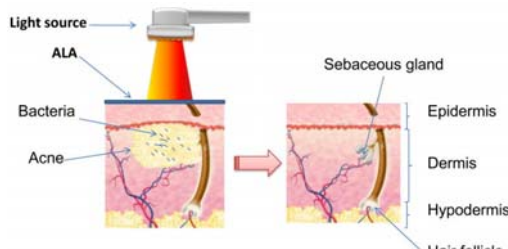
#### Osteomyelitis.۹

Bisland و همکارانش [۷۳] بر روی PDT به عنوان یک روش درمانی قابل اجرا برای استئومیلیت با استفاده از S.aureus کشتم داده شده بکاربرد bioluminescent K-wire مطالعاتی را انجام دادند. K-wire های پوشیده شده با S.aureus در معرض متیلن بلو و ALA در شرایط آزمایشگاهی و Sprague در حفره مدولاری تیبیا یک گونه موش صحرایی- Dawley تحت PDT قرار گرفتند. میزان پیشرفت بیوفیلم

عمل کرانیوتومی و درناز جراحی با قرار دادن هماتوپورفیرین در بستر آبse و تاباندن نور به آن پس از ۵ دقیقه برای گرفتن پاسخ کلینیکی مشبت درمان کردند.

یک گروه در روسیه گزارشی در مورد استفاده از PDT برای درمان زخم‌های چربکی<sup>[۷۷]</sup> و عفونت‌های بافت نرم<sup>[۷۸]</sup> را ارائه دادند. اما استناد و مدارک آن در دسترس نیست.

فتوفارمیکا<sup>۱</sup> یک شرکت انگلیسی است که PDT موضعی را به وسیله مشتقات فتوینامیوم (pp904) بر روی زخم‌های باکتریایی عفونی غیر قابل بهبود انجام داده است. افزایش بهبود زخم و کاهش میزان میکروب یافت شد، اما نتایج فقط در کنفرانس‌ها ارائه گردید.<sup>[۷۹]</sup>

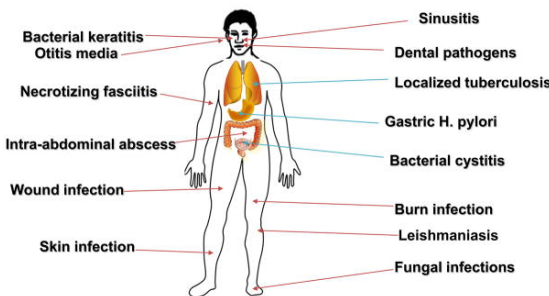


شکل ۱۱: تصویر شماتیک ALA-PDT آکنه. باکتری‌های موجود در خده چربی از بین رفته‌اند.

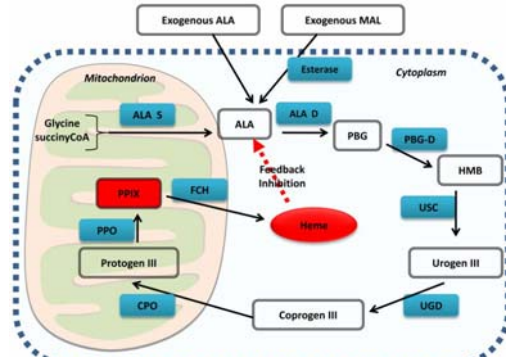
## Acne.۲

آکنه ولگاریس یک بیماری مولتی‌فاکتوریال می‌باشد. Propionibacterial acnes در غدد سباسه بیماران یافت شده است و به عنوان یک عامل اصلی (اما نه تنها عامل بیماری) مورد توجه قرار گرفته است. درمان‌های شایع برای آکنه شامل درمان‌های موضعی و سیستمیک آنتی‌باکتریال می‌باشد.<sup>[۸۰]</sup> در سال ۱۹۹۰، فتوتراپی بدون افزودن حساسگر نوری (استفاده از نور و لیزرها به‌تهیه‌ی) برای پاکسازی نواحی و بهبود وضعیت اسکارهای جدید و قدیمی انجام شد.<sup>[۸۱]</sup> لیزر تراپی برای افرادی که آکنه سیستمیک و ندول دارند، مفید می‌باشد. تجمع پورفیرین‌های فلوروسنست قرمز از دیربارز در باکتری به وجود آورند آکنه دیده شده است.<sup>[۸۲]</sup> از این خاصیت اغلب برای پیگیری پاسخ به درمان بیمارانی که تحت روش فتوگرافی Ashkenazi فلوروسنست قرار می‌گیرند، استفاده می‌شود. Ramstad<sup>[۸۳]</sup> و همکارانش نشان دادند که گروه ویژه‌ای از P.acnes بدون نیاز به اضافه کردن پیش‌ساز ALA قادر به تولید پورفیرین‌های اندوزن می‌باشند. PDT پس از استفاده از ALA و همچنانچه MLA برای پوست به کار برده شده است و نشان داده است که این روش یک روش مؤثر بی خطر برای درمان آکنه ولگاریس می‌باشد(شکل ۱۱).

شده است. در حال حاضر مسئله‌ای که نامشخص است این موضوع می‌باشد که تا چه حد PDT عفونت‌های پوسیتی را به وسیله ازین بردن میکروارگانیسم‌هایی که در واقع مسئول ایجاد بیماری هستند، درمان می‌کند و تا چه حد سلول‌های میزبان و بافتی را که پناهگاه میکروارگانیسم‌ها می‌باشند، تحت تأثیر قرار می‌دهد.



شکل ۹: عفونت‌های قابل درمان با PDT. طیف وسیعی از عفونت‌های موضعی می‌تواند به وسیله PDT درمان شود.



شکل ۱۰: نمای شماتیک FUL و اتفاعلات مسیر بیوسترن هم با ALA or MAL برای ساخت PPIX. اگزوزن ALA or MAL باعث می‌شوند.

Abbreviations are ALA-D = ALA dehydratase; ALA-S = ALA synthetase; Coprogen III = coproporphyrinogen III; CPO = coproporphyrinogen oxidase; FCH = ferrochelatase; HMB = hydroxymethylbilane, PBGD= porphobilinogen deaminase; protogen III = protoporphyrinogen; PPO = protoporphyrinogen oxidase; Urogen III = uroporphyrinogen III; UCS = uroporphyrinogen cosynthase, UGD = uroporphyrinogen decarboxylase.

۱. عفونت باکتریال موضعی Lombard و همکارانش<sup>[۷۶]</sup> گزارش کردند که از به صورت کلینیکی با استفاده از حساسگر نوری و نور به طور موضعی برای درمان عفونت‌های باکتریایی استفاده کردند. آن‌ها در جین عمل جراحی، ۵ بیمار را با آبسه‌های مغزی پس از

Darras-Vercambre درمان فتوینامیک erythrasma (یک عفونت پوستی سطحی) را گزارش کردند. تابش نور قرمز<sup>۳</sup> ۸۰ J/cm<sup>2</sup> با باند پهن و طول peak طول موج ۶۳۵ نانومتر) بدون استفاده از مولکولهای حساسگر نوری خارجی در بعضی از بیماران بهبود کامل را دربرداشت. Calzavara-pinton و همکارانش [۱۰۳] از کرم Eucerin که دارای ۲۰ درصد ALA بود در زیر یک پانسمان و بر روی نواحی از پا که مایکوز بین انگشتان پا در اثر کاندیدا یا گونه‌های تریکوفیتون ایجاد شده بود، استفاده کردند. سپس آن نواحی تحت تابش نور قرمز با باند پهن و ۷۵ J/cm<sup>2</sup> فرارگرفتند. خشم‌های بین انگشتان پایی دیگر که به عنوان کنترل در نظر گرفته شده بود، فقط با نور یا ALA به تنها یی درمان شد. بهبود کلینیکی و میکروبیولوژیکی در ۶ نفر از ۹ بیمار دیده شد. (۴ بیمار پس از یک جلسه درمان و ۲ بیمار پس از ۴ جلسه) اگرچه پس از ۴ هفته در ۴ نفر از بیماران عود مجدد دیده شد.

#### ۴. PDT در عفونت‌های وبروسی

Papillomatosis که توسط HPV<sup>۳</sup> ایجاد می‌شود، توسط PDT سیستمیک و موضعی در مناطق مختلف آناتومیک درمان شده است. RRP که توسط HPV تایپ ۱۱ و ۱۶ ایجاد می‌شود، یکی از شایع‌ترین نئوپلاسم‌های خوش‌خیم حنجره در میان کودکان است [۱۱۱]. درمان‌های متداول نمی‌تواند از عود متعدد جلوگیری کند. PDT سیستمیک با dihematoporphyrin ether (۴/۲۵ mg/kg) در ۴۸ ساعت بعد از استفاده از دارو J<sup>۴</sup> از نور لیزر با طول موج ۶۳۵ نانومتر را دریافت کردند، آزمایش شد [۱۱۲]. بهبود قابل توجه با کاهش معنی‌داری در میزان رشد papilloma نسبت به بیماران گروه کنترل وجود داشت. نتایج مشابهی توسط Abramson و همکاران [۱۱۳] و Bujia و همکاران [۱۱۴] گزارش شد. Abramson و همکاران ۳۲ بیمار با عفونت papillomatosis عودکننده حنجره متوسط تا شدید را با تربیق (۲/۵ mg/kg) از dihematoporphyrin ether وریدی ۴۸ یا ۷۲ ساعت قبل از Argon pumped dye photoactivation با سیستم laser درمان کردند. آنالیزهای آماری نشان دادند که درصد بیماران کاهش چشمگیر داشتند [۱۱۳].

HPV عفونت condyloma accuminata به عنوان یکی از انواع زگیل‌های تناسلی شناخته می‌شود. این زگیل‌ها در دستگاه تناسلی خارجی زنان و مردان در اطراف

Hongcharu و همکارانش [۸۷] اولین بار در سال ۲۰۰۰ استفاده از PDT-ALA با منبع نوری دارای باند پهن و طول موج ۵۵۰ تا ۵۷۰ نانومتر را گزارش کردند. MAL-PDT نیز ثابت شد که یک درمان مؤثر برای آکنه التهابی است [۸۸]. Wigell و همکارانش [۸۹] دریافتند که هیچ تفاوت معنی‌داری در پاسخ بین MAL-PDT و ALL-PDT وجود ندارد. کاربرد رنگ ICG (Indocyanine green) همراه با لیزر NIR (۸۰۳) یا ۸۰۹ نانومتر برای درمان آکنه ولگاریس به وسیله Tuchil و همکارانش [۹۰] شرح داده شد. PDT با تزریق داخل زخم ALA یک برتری آماری قطعی را در افزایش دقیت درمان و کوتاه کردن دوران انکوباسیون در مقایسه با PDT-ALA را ایجاد نشان داد [۹۱]. فتوترابی با نور آبی، قرمز، زرد، نور با باند پهن و لیزر پالس دیود [۹۳] می‌تواند باعث یک بهبود طولانی مدت شود [۹۴]. Taylor [۹۵] گزارش کرد که کاربرد موضعی MAL یا ALA در یک مقطع زمانی کمتر از ۹۰ دقیقه با یک منبع نوری غیر همگرا با فواصل ۳ تا ۴ هفت‌ای برای ۲ تا ۴ جلسه درمان از لحاظ کلینیکی اثر بیشتری دارد.

#### ۳. سایر عفونت‌های پوستی

برخلاف آکنه، rosacea یک وضعیت پوستی است که علت آن کمتر به عنوان یک عفونت تلقی می‌شود، اما اغلب با آنتی‌بیوتیک‌ها درمان می‌گردد [۹۷]. مطرح شده است که Demodex با وجود آکنه پوستی Rosacea که به آن Follicularum ارتباط است [۱۰۶ و ۱۰۷]. Gallo و همکارانش [۱۰۸] شرح دادند که بیماری زایی Rosacea به دلیل تولید بیش از حد پپتیدهای آنتی‌میکروبیال مانند cathelicidin می‌باشد. Rosacea و Bryld Jemec [۱۰۹] بیمارانی را که داشتند با MAL-PDT و نور قرمز طی ۱ تا ۴ جلسه درمان کردند و در ۱۰ تا از ۱۷ بیمار به نتایج خوبی رسیدند. نتایج درمان در ۴ بیمار دیگر نیز نسبتاً خوب بود، اگرچه همین نویسنده‌گان نتوانستند هیچ تغییری را در فلور باکتریال پوست پس از MAL-PDT نشان دهند [۹۶].

Katz و Patel [۱۱۰] یک زن ۴۵ ساله را که در صورت پاپول، پوسچول و گرگرفتگی<sup>۵</sup> داشت و مطابق با Rosacea شدید بود و درمان‌های دارویی در وی جواب نداده بود، معروفی کردند. وی ۶ جلسه ALA-PDT با فواصل دوهفته‌ای دریافت کرد. بهبود پس از جلسه دوم مشهود بود و پس از جلسه ششم به نتایج عالی دست یافتند. بهبود ادامه پیدا کرد و هیچ عودی تا یک ماه پس از آخرین جلسه درمان مشاهده نشد.

<sup>3</sup>. Human Papillomatosis Virus

<sup>4</sup>. Recurrent respiratory papillomatosis

<sup>2</sup>. Flushing

$P < 0.05$ ). علاوه بر این، نسبت بیماران با عوارض جانبی در گروه ALA-PDT (۱۳/۹ درصد) به طور قابل ملاحظه‌ای کمتر از گروه لیزر  $CO_2$  (۱۰۰ درصد و  $P < 0.05$ ) بود. عوارض جانبی در بیمارانی که با ALA-PDT درمان شدند شامل سوختگی zemies خفیف یا سوزش محدود به ناحیه تابش بود. اگرچه ALA-PDT و همکاران [۱۲۰] گزارش کردند که تفاوتی در شدت عود و همکاران Herzinger و همکاران [۱۲۱] یک مطالعه باز انجام دادند و از ۵-ALA موضعی و نور قرمز (۶۳۰ نانومتر) در درمان ۹ مرض مبتلا به genital condylomata و با سابقه<sup>\*</sup> قبلی حداقل یک درمان متداول ناموفق استفاده کردند. بهبود کامل در ۳ بیمار به دست آمد که یکی از آن‌ها پس از ۳ هفته عود داشت در حالی که ۳ بیمار پاسخ نسبی به درمان نشان دادند و ۳ بیمار هیچ پاسخی را نشان ندادند. Wang و همکاران [۱۲۲] ۱۶۴ بیمار ALA condylomata intraurethral را با موضعی و پس از آن تابش نور داخل مجرای ادراری intraurethral پیگیری‌های ۶-۲۴ ماهه، میزان پاسخ کامل درصد و عود ۵۰ درصد بود.

زگیل‌های پوستی<sup>۵</sup> که به عنوان Verrucae vulgaris یا Verrucae plana شناخته شده‌اند (که به وسیله HPV ایجاد می‌شوند) با ALA-PDT درمان شده‌اند. بهویژه هنگامی که در پاشنهٔ پا plantar warts می‌دهد، مشکلاتی را ایجاد می‌کنند که درمان ضرورت پیدا می‌کند.

Schroeter و همکاران [۱۲۳] ۳۱ بیمار با ۴۸ زگیل کفپایی را با ALA (میانگین زمان انکوباسیون ۶.۸ ساعت) درمان کردند و میانگین زمان درمان برای هر زگیل ۱۸/۷ دقیقه بود. هر زگیل به طور متوسط ۲/۳ مرتبه با میانگین شار  $100\text{ cm}^2$  درمان شد. ۴۲ از ۴۸ عدد زگیل، ۸۸ درصد پاسخ کامل نشان دادند. ارتباطی بین بهبود کامل و اندازه زگیل سن بیماران و میانگین زمان درمان یافت شد. هیچ عوارض جانبی قابل ملاحظه‌ای بعد از عمل مشاهده نشد. Stender و همکاران [۱۲۴ و ۱۲۵] دریافتند که در ۳۰ بیمار با زگیل‌های مقاوم ALA-PDT با نور سفید که ۱ (W1) یا ۳ (W3) بار تکرار می‌شود، بهتر است از ALA-PDT با نور قرمز (R3) یا نور آبی (B3) که ۳ بار تکرار شود و همچنین بهتر است از standard cryotherapy (CRYO) ۷۳ درصد از زگیل‌ها که با W3 درمان شدند به طور کامل بهبود یافتند، ۷۱ درصد

مقعد ایجاد می‌شوند. در زنان HPV دهانه رحم را آلوود می‌کند که (اگر ویروس تایپ ۱۶ یا ۱۷ باشد) می‌تواند منجر به cervical intraepithelial cervical cancer و cervical neoplasia (CIN) Ichimura neoplasia (CIN) شود. PDT (با لیزر ۶۳۰ نانومتر-YAG polyhematoporphyrin OPO) ۶۰ ساعت بعد از تزریق IV ether/ester 2 mg/kg در زمان درمان CIN، نه تنها در بهبود ارزیابی‌های سیتولوریکی و هیستولوژیکی مؤثر بود، بلکه در از بین بردن HPV دهانه رحم نیز تأثیر بهسازی داشت [۱۱۵].

ALA-PDT و همکاران [۱۱۶] از vulval intraepithelial neoplasia (VIN 2-3) استفاده کردند اما، یک پاسخ کوتاه مدت را فقط unifocal ضایعات بیشتر از ضایعات multifocal و pigmented به درمان پاسخ دادند. آن‌ها عفونت HPV و بیان HLA و نفوذ سلول‌های ایمنی در نمونه‌های VIN در پاسخ‌دهنده‌ها و غیرپاسخ‌دهنده‌ها به درمان را اندازه گرفتند. گروه بیشتری از HPV مشبتش با کاهش پاسخ VIN به HLA class I نفوذ PDT را بیشتر نشان دادند. یک افزایش معنی‌دار در نفوذ CD8 (T-cells) در پاسخ‌دهنده‌های VIN در مقایسه با غیرپاسخ‌دهنده‌ها وجود داشت. عفونت پرخطر HPV و فقدان سلول‌های ایمنی ممکن است نقش مهمی در مشاهدهٔ پاسخ ضعیف زخم‌های اندام تناسلی تحتانی به PDT موضعی داشته باشد.

condyloma ALA موضعی یا MAL-PDT در درمان vagina در penis استفاده شده است. تجمع انتخابی فلورسانس PPIX در condylomata نشان داده شده است [۱۱۷ و ۱۱۸]. Chen و همکاران در یک Randomized clinical trial ALA-PDT به مقایسه condylomata acuminate لیزر  $CO_2$  گازی در درمان ۲۰ درصد تحت پاسمنان پرداختند: ۶۵ بیمار محلول ALA با دوز  $100\text{ J/cm}^2$  neon CO<sub>2</sub> را دریافت کردند در حالی که گروه دیگری از بیماران با لیزر  $CO_2$  درمان شدند. بعد از یک جلسه درمان، میزان حذف کامل در گروه ALA-PDT ۹۵ درصد و در گروه کنترل ۱۰۰ درصد بود. بعد از دو جلسه درمان با ALA-PDT میزان حذف کامل در گروه درمان ۱۰۰ درصد بود که بطور قابل ملاحظه‌ای کمتر از گروه کنترل بود ( $19/6$  درصد و

۵. cutaneous warts

نور قرمز با طول موج ۶۳۳ نانومتر و دوز  $J/cm^2$  ۱۰۰ [۱۳۴].

PDT با نور قرمز  $75J/cm^2$  که ۱۲ هفته انجام شد هم نتایج خوبی نشان داد [۱۳۵]. Sohl و همکاران در بیماران با عفونت پوست صورت Leishmania tropica که به روش‌های درمانی مختلف مقاوم بودند، نتایج عالی را گزارش کردند [۱۳۶]. نشان داده شده است که PDT مؤثرتر از methylbenzethonium paromomycin موضعی و chloride Leshmaniasis در درمان جلدی است.

#### ۶. عفونت دندانی-پریودنتال و اندودنتیک

عفونت‌های دندانی عرصه پیشرفت وسیعی برای PDT آنتی‌میکروبیال است. سه شرکت بهصورت جدی درگیر آزمایش‌های کلینیکی و بازاریابی برای این روش درمانی Ondine Biopharma شرکت می‌باشند. شرکت HELBO Photodynamic system (www.helbo.at) که در استرالیا قرار دارد از TBO و نور ۶۳۵ نانومتر برای درمان پریودنتیت و عفونت‌های اندودنتیک Denfotex استفاده می‌کند. شرکت دیگری نیز بهنام (www.denfotex.com) در انگلستان در زمینه درمان پوسیدگی بیماری‌های اندودنتیک و پریودنتیت فعالیت می‌کند. پریودنتیت بیماری عفونی باکتریایی است که سبب ایجاد پاکت، تحلیل استخوان فک و التهاب بافت همبند می‌گردد. بررسی سیتوکین‌ها در هنگام درمان از ارزش بالایی برخوردار است. PDT در مقایسه با Scaling&Root planning در بیماران مبتلا به پریودنتیت مهاجم اثراهای مشابهی بر روی RANKL Crevicular TNF- $\alpha$  دارد [۱۳۸]. کاربرد یک جلسه‌ای PDT پس از SRP در مقایسه با SRP بهتنهایی زمینه کنترل خونریزی لثه نتایج معنی‌داری را نشان داد [۱۳۹]. در بیماران با پریودنتیت مزمن، نتایج کلینیکی دبریدمان زیرلثه‌ای متداول می‌تواند به وسیله PDT کمکی که با یک لیزر دیود  $mw/cm^2$  ۱۰۰ (۶۰۰ نانومتر) و حساسگر نوری فوتیازین کلرايد انجام می‌شود، بهبود یابد [۱۴۰]. Christodoulides و همکارانش نشان دادند درجه خونریزی Scaling در SRP+PDT بسیار کمتر از SRP موضعی شد [۱۴۱].

اخیراً Qin و همکارانش گزارش کردند که PDT با TBO همراه با نور لیزر قرمز  $12J/cm^2$  می‌تواند invivo پریودنتیت را بهطور مؤثری درمان نماید و پتانسیل PDT زیادی در کاربرد کلینیکی دارد [۱۴۲]. سایر کاربردهای

بعد از W1، ۴۲ درصد بعد از R3، ۲۰ درصد بعد از B3 در CRYO هیچ جای زخمی در محل هایی که با ALA-PDT درمان شدند، مشاهده نشد و بیمارانی که برای زگیل پا تحت درمان قرار گرفتند بعد از درمان قادر به رفتن بودند. در یک پیگیری ۱۲ ماهه، هیچ عودی در زگیل‌هایی که به طور کامل با ALA-PDT درمان شده بودند، مشاهده نشد. اگرچه ALA-PDT برای درمان زگیل دردناک است و ۱۷ درصد از بیماران، درد شدید را گزارش کردند که نیاز به داروهای ضد درد داشت [۱۲۶].

**Molluscum contagiosum(MC)** عفونت ویروسی پوست یا گاهی احتشاء مخاطی است. MC یک بیماری مختص انسان است و حیوانات را آلوده نمی‌کند. ویروس آلوده کننده انسانی MC یک ویروس poxvirus است که MCV<sup>۶</sup> نامیده می‌شود. چهار نوع از MCV وجود دارد MCV-1 تا ۴ MCV-1 عموماً در بزرگسالان دیده می‌شود و اغلب از طريق MCV-2 مقاربی منتقل می‌گردد. MC به طور موفق در بیماران HIV- درمان شده است [۱۲۷] و [۱۲۸].

در دهه ۱۹۷۰، یک جهش در درمان ضایعات Herpessimplex توسط PDT موضعی به وجود آمد [۱-۱۳۹]. رنگ‌های متعددی (که متداول‌ترین رنگ قرمز خنثی oral genital herpes است) به طور موضعی در ضایعات و بدنبال آن تابش نور سفید استفاده شد. هرچند استفاده از این روش بعد از مطالعه Myers و همکاران کاهش پیدا کرد (۱۳۲). Myers و همکاران یک control clinical trial را انجام دادند و نشان دادند که هیچ اثر درمانی در ۹۶ بیمار وجود نداشت و همچنین احتمال عوارض جانبی در orolabial lesions وجود دارد. به علاوه نگرانی‌ها درباره اثر احتمالی سلطان‌زایی درمان افزایش پیدا کرد [۱۳۳].

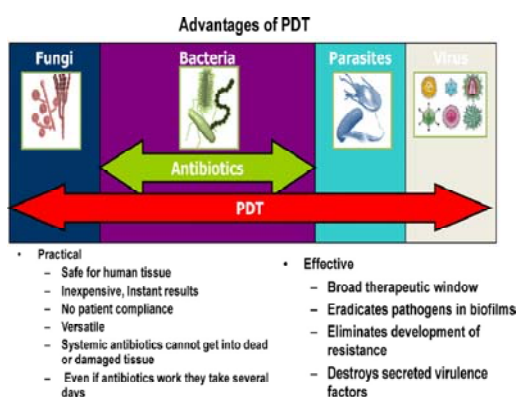
#### ۵. Leshmaniasis

Leshmaniasis یک بیماری است که توسط انگل leshmaniasis protozoan ایجاد می‌شود و به گونه Leshmanai تعلق دارد و به وسیله نیش حشرات خاصی از گونه sand fly (subfamily phlebotominae) می‌شود. Leshmaniasis جلدی متداول‌ترین نوع leshmaniasis است. هنوز هیچ دستورالعمل درمانی استانداردی برای leshmaniasis وجود ندارد. نتایج قابل توجهی در بیمارانی که درمان هفتگی PDT را دریافت کرده بودند در مقایسه با ALA paromomycin موضعی مشاهده شد (۱۰۱ درصد

<sup>۶</sup>. molluscum contagiosum virus

یک فیبر نوری از طریق upper GI endoscope در بیماران با عفونت H.pylori به یک ناحیه ۱ سانتی‌متری در gastric antrum تابانده شود. آن‌ها از نواحی درمان و کنترل، بیوپسی تهییه کردند و تعداد کلونی‌ها به دست آمد. به طور متوسط ۹۰ درصد از کلونی‌های تشکیل شده تخربی شده بود. این گروه سپس نشان دادند که تابش تمام معده با نور ۴۰۵ نانومتر امن و امکان‌ذیم است [۱۵۰].

یک منبع نور جدید شامل لیزرهای دیود و فیبرهای منتشر کننده که تابش ۴۰۸ نانومتر را با مجموع توان نوری ۱۲W انجام می‌دهد، موجب افزایش شارکلی به کل معده می‌گردد. ۱۸ بیمار با عفونت *H.pylori* در سه مرکز اندوسکپی آکادمیک آمریکا به وسیله نمونه‌گیری‌های انجام‌شده از شمارش باکتری‌ها درمان شدند. بیشترین کاهش در میزان باکتری‌ها در antrum بود پس از آن این کاهش در body و fundus از antrum بود. ۱۹ پس از آن تنفسی اوره به چشم خورد. یک ارتباط بین میزان باکتری‌های fundus و کاهش لگاریتمی آن وجود داشت. با افزایش زمان تابش اولیه و کاهش لگاریتمی آن وجود داشت. با افزایش زمان تابش پاسخی به دوز مشاهده نگردید. تست تنفسی اوره افزایش تعداد باکتری‌ها، در میزان افزایش نشان داد.



شکل ۱۱: نمای شماتیک مزایای PDT عفونت‌های موضعی در مقایسه با آنتی‌بیوتیک‌ها

## نتیجه گیری و چشم انداز آینده

افزایش بی‌پایان مقاومت دارویی در میان انواع مختلف میکروب‌های بیماری‌زا منجر به ایجاد نگرانی در مورد کاهش تأثیر درمان‌های آنتی‌بیوتیکی، ضد انگل و ضد ویروسی شده است. ممکن است روزی فرا رسد که عفونت‌ها به عنوان عامل اصلی مرگ نوزادان تلقی گردند. این پدیده نگران‌کننده منجر به فعالیت‌های تحقیقاتی وسیعی در آزمایشگاه‌های دانشگاهی و

آنٹی میکروبیال در استریل کردن کانال ریشه‌های با پالپ نکروتیک و یا ضایعات پری اپیکال می‌باشد. در این بیماران PDT می‌تواند با دربیدمان مکانیکی و مواد آنتی میکروبیال شیمیایی مانند هیپوکلریت و هیدروژن پروکساید، به صورت همزمان به کار رود.

و همکارانش Garcez [۱۴۳] در ۲۰ بیمار اثرهای آنتی میکروبیال PDT را با استفاده از نور ۶۶۰ نانومتر و Polyethylenimine Chlorin (e6) آندودنوتیک استاندارد بررسی کردند. در پایان جلسه اول کاتال Rیشه با  $\text{Ca(OH)}_2$  پر شد و جلسه دوم درمان، پس از یک log هفتگه انجام شد. درمان آندودنوتیک کاهشی در حدود ۰/۱ را در پی داشت درحالی که ترکیب آن با PDT کاهش بیشتری را در پی داشت ( $0/00002 \text{ log}$ ,  $p=0/083$ ). جلسه دوم درمانی نتایج مشابهی با جلسه اول داشت ( $0/14 \text{ log}$ ) و PDT در جلسه دوم به صورت معنی داری نسبت به جلسه اول PDT مؤثتر بود. کاهش کلی تعداد باکتری ها در جلسه دوم به صورت معنی داری نسبت به درمان آندودنوتیک بیشتر بود.

و همکارانش Pinheiro [۱۴۴] از TBO و پراکسید اوره و نور قرمز علاوه بر دریدمان مکانیکی برای استریل کردن کاتال های ریشه دندان های شیری با پالپ نکروتیک در کودکان استفاده کردند. کاهش باکتری ها به وسیله روش دیدریدمان مکانیکی در حدود ۸۲/۵۹ درصد بود و پس از PDT ۹۸/۳۷ درصد رسید.

## Gastric h.pylori infection .v

H.pylori در لایه ماهیچه معدہ انسان ساکن می شود و سبب زخم گوارشی و adenocarcinoma می گردد. مطالعات زیبادی ظهور مقاومت به آنتی بیوتیک در درمان سه گانه دارویی را یاری را ذکر کردند [۱۴۵] و تحقیقات برای درمان های جایگزین افزایش یافته [۱۴۶]. در یک مطالعه preliminary clinical trial در ۱۳ بیمار از oral 5-ALA (۲۰ mg/kg) استفاده کردند و ۴۵ دقیقه<sup>۱</sup> بعد، ناحیه antrum معده به وسیله یک آندوسکوپ با لیزر آبی ( $40.5 \text{ J/cm}^2$ ، ۴۰ نانومتر) تحت تابش قرار گرفت [۱۴۷]. آنها نشان دادند که در نمونه هایی که تحت تابش قرار گرفته بودند در مقایسه با نواحی کنترل، HP بیشتری از بین رفتہ بود. Hamblin و همکاران [۱۴۸] نشان دادند که در H.pylori به طور طبیعی پورفیرین، کاپروپورفیرین و پروتوپورفیرین تجمع می یابد و این به این معناست که سلول های باکتریایی به طور فوق العاده نسبت به photoactivation بدون به کارگیری PS حساس هستند. خصوصاً هنگامی که نور آبی استفاده می شود. Ganz و همکاران [۱۴۹] سعی کردند نشان دهنده نور آبی می تواند به وسیله

فاکتورهای ویرولانس ترشح شده به وسیله نور است. فاکتورهای ویرولانس معمولاً از جنس پروتئین و آنزیم‌ها می‌باشند. پروتئین‌های محلول نسبت به اکسیداسیون اسید آمینه‌های حساس باقی‌مانده سیستئین، متیونین، ترپتوфан، تیروزین و هیستیدین آسیب‌پذیر می‌باشند. توانایی تحریب فاکتورهای ویرولانس ترشح شده مانند بیولیساکارید و بروتاز پسودوموناس به وسیله PDT نشان داده شده است [۱۵۲]. Hamblin و همکاران [۱۵۲] پیشنهاد کردند بهبود زخم‌های آلوهه شده با پسودوموناس آئروژنوزا که با PDI درمان شده بودند از زخم‌هایی که با نیترات نقره درمان شده بودند، بهتر بود و این به دلیل تأثیر PDI بر پروتاز و سایر فاکتورهای ویرولانس می‌باشد.

یکی دیگر از مشکلات کاربرد PDT در عفونت‌ها فقدان حساسگرهای بسیار مؤثر در کلینیک می‌باشد. رنگ‌های ALA or MAL-induced (MB,TBO) و فوتیازینیوم (PPIX) تنها حساسگرهای نوری هستند که در عفونت به صورت وسیعی استفاده می‌شوند. اثربخشی بسیاری از حساسگرها به نوع میکروب و محل آناتومیکی عفونت بستگی دارد. محققانی که بروی PDT مطالعه می‌کنند می‌دانند که موادی با صد یا حتی هزار برابر قدرت بیشتر در دسترس می‌باشند ولی به علت سمت در مطالعات انسانی به کار گرفته نمی‌شوند. با افزایش استفاده از PDT در درمان‌های پریودونتیت می‌توان پیش‌بینی کرد که بسیاری از بیماری‌های عفونی در سال‌های آینده توسط آن درمان شود.

شرکت‌های کوچک بروی روش‌های آنتی‌میکروبیال جایگزین شده است که به فارماکولوژی انتخابی و رویکرد زیست‌شناسی سلولی که در حدود ۶۰ سال به ما آنتی‌بیوتیک‌های موفقی را ارائه دادند، وابسته نمی‌باشد. از نظر ما یکی از موفق‌ترین نمونه‌های تکنولوژی جدید، PDT می‌باشد که فواید آن در شکل ۱۲ خلاصه شده است. از آنجاکه حساسگر نوری می‌تواند با سلول میکروبی متصل شود و نور نیز بروی بافت آلوده مؤثر است، می‌توان گفت که PDT تأثیردوبرابری دارد. با این حال باید توجه داشت که بسیاری از بیماری‌های عفونی به درمان سیستمیک نیاز خواهد داشت.

موضوع مهمی که تاکنون در PDT بیماری‌های عفونی یافته‌های زیادی راجع به آن وجود ندارد، تحریک سیستم ایمنی میزبان می‌باشد. این موضوع که وقتی از PDT در درمان سلطان استفاده می‌شود موجب افزایش پاسخ سیستم ایمنی میزبان سلول‌های سرطانی می‌گردد، پذیرفته شده است [۱۵۱]. احتمالاً در اثر کشته شدن سلول‌های تومور و ایجاد یا آزاد کردن آنتی‌ژن‌های تومور و سیگنال‌های خطر سلولی در PDT مانند التهاب حاد سلول‌های دندریتیک و سایر سلول‌های ایمنی ذاتی و اکتسابی جذب، فعل و بالغ می‌شوند. زمانی که عفونت‌ها با PDT درمان می‌شوند نیز باید روند مشابهی اتفاق بیفتد، ولی همان‌طور که قبل ذکر شد ممکن است مقاله Abdel-Hady [۱۱۶] مطلع هستیم. این موضوع می‌تواند تحت مطالعات وسیع‌تری قرار گیرد.

یکی دیگر از ویژگی‌های مفید PDT آنتی‌میکروبیال که در سایر درمان‌های آنتی‌میکروبیال دیده نمی‌شود، توانایی تحریب

## References

68. Akilov OE, Kosaka S, O'Riordan K, Hasan T. Photodynamic therapy for cutaneous leishmaniasis: the effectiveness of topical phenothiaziniums in parasite eradication and Th1 immune response stimulation. *Photochem Photobiol Sci* 2007; 6: 1067–75. [PubMed]
69. Akilov OE, Kosaka S, O'Riordan K, Hasan T. Parasiticidal effect of delta-aminolevulinic acid-based photodynamic therapy for cutaneous leishmaniasis is indirect and mediated through the killing of the host cells. *Exp Dermatol* 2007; 16: 651–60. [PubMed]
70. Akilov OE, Yousaf W, Lukjan SX, Verma S, Hasan T. Optimization of topical photodynamic therapy with 3,7-bis (di-n-butylamino)phenothiazin-5-iun bromide for cutaneous leishmaniasis. *Lasers Surg Med* 2009; 41: 358–65. [PubMed]
71. O'Riordan K, Akilov OE, Chang SK, Foley JW, Hasan T. Real-time fluorescence monitoring of phenothiazinium photosensitizers and their anti-mycobacterial photodynamic activity against *Mycobacterium bovis* BCG in invitro and in vivo models of localized infection. *Photochem Photobiol Sci* 2007; 6: 1117–23. [PubMed]
72. Jung JY, Seung Kwon P, Chul Ahn J, GeR, Suh MW, Rhee CK. In vitro and invivo photodynamic therapy of otitis media in gerbils Laryngoscope 2009.
73. Bisland SK, Chien C, Wilson BC, Burch S. Pre-clinical in vitro and in vivo studies to examine the potential use of photodynamic

- therapy in the treatment of osteomyelitis. *Photochem Photobiol Sci* 2006; 5: 31–8. [PubMed]
74. Smetana Z, Malik Z, Orenstein A, Mendelson E, Ben-Hur E. Treatment of viral infections with 5-aminolevulinic acid and light. *Lasers Surg Med* 1997; 21 :351–8. [PubMed]
75. Moore C, Wallis C, Melnick JL, Kuns MD. Photodynamic treatment of herpes keratitis. *Infect Immun* 1972; 5 :169–71. [PMC free article] [PubMed]
76. Lombard GF, Tealdi S, Lanotte MM. The treatment of neurosurgical infections by lasers and porphyrins. In: Jori G, Perria CA, editors. *Photodynamic Therapy of Tumors and other Diseases*. Padova, Italy: Edizione Libreria Progetto 1985: 363–6.
77. Tolstykh PI, Stranadko EF, Koraboev UM, Urinov A, Tolstykh MP, Terekhova RP, Volkova NN, Duvanskii VA. Experimental study of photodynamic effect on bacterial wound microflora. *Zh Mikrobiol Epidemiol Immunobiol* 2001; 85–7. [PubMed]
78. Stranadko EF, Koraboev UM, Tolstykh MP. Photodynamic therapy in suppurative diseases of soft tissue. *Khirurgija (Mosk)* 2000: 67–70. [PubMed]
79. Brown SB. Clinical developments in antimicrobial PDT. 12th International Photodynamic Association World Congress; Seattle. 2009.
80. Gold MH. Acne and PDT: new techniques with lasers and light sources. *Lasers Med Sci* 2007; 22 :67–72. [PubMed]
81. Houk LD, Humphreys T. Lasers to magic bullets: an updated history of lasers in dermatology. *Clin Dermatol*. 2007; 25 : 434–42. [PubMed]
82. Johnsson A, Kjeldstad B, Melo TB. Fluorescence from pilosebaceous follicles. *Arch Dermatol Res* 1987; 279 :190–3. [PubMed]
83. Meffert H, Gaunitz K, Gutewort T, Amlong UJ. Therapy of acne with visible light. Decreased irradiation time by using a blue-light high-energy lamp. *Dermatol Monatsschr* 1990 ;176 : 597–603. [PubMed]
84. Ashkenazi H, Malik Z, Harth Y, Nitzan Y. Eradication of *Propionibacterium acnes* by its endogenic porphyrins after illumination with high intensity blue light. *FEMS Immunol Med Microbiol* 2003 ;35 :17–24. [PubMed]
85. Ramstad S, Le Anh-Vu N, Johnsson A. The temperature dependence of porphyrin production in *Propionibacterium acnes* after incubation with 5-aminolevulinic acid (ALA) and its methyl ester (m-ALA). *Photochem Photobiol Sci* 2006; 5: 66–72. [PubMed]
86. Charakida A, Seaton ED, Charakida M, Mouser P, Avgerinos A, Chu AC. Phototherapy in the treatment of acne vulgaris: what is its role? *Am J Clin Dermatol* 2004; 5: 211–6. [PubMed]
87. Hongcharu W, Taylor CR, Chang Y, Aghassi D, Suthamjariya K, Anderson RR. Topical ALA-photodynamic therapy for the treatment of acne vulgaris. *J Invest Dermatol* 2000; 115 :183–92. [PubMed]
88. Wiegell SR, Wulf HC. Photodynamic therapy of acne vulgaris using methyl aminolevulinate: a blinded, randomized, controlled trial. *Br J Dermatol* 2006; 154 : 969–76. [PubMed]
89. Wiegell SR, Wulf HC. Photodynamic therapy of acne vulgaris using 5-aminolevulinic acid versus methyl aminolevulinate. *J Am Acad Dermatol* 2006; 54: 647–51. [PubMed]
90. Tuchin VV, Genina EA, Bashkatov AN, Simonenko GV, Odoevskaya OD, Altshuler GB. A pilot study of ICG laser therapy of acne vulgaris: photodynamic and photothermolysis treatment. *Lasers Surg Med* 2003; 33: 296–310. [PubMed]
91. Ryou JH, Lee SJ, Park YM, Kim HO, Kim HS. Acne-photodynamic therapy with intra-lesional injection of 5-aminolevulinic acid. *Photodermatol Photoimmunol Photomed* 2009; 25: 57–8. [PubMed]
92. Hong SB, Lee MH. Topical aminolevulinic acid-photodynamic therapy for the treatment of acne vulgaris. *Photodermatol Photoimmunol Photomed* 2005; 21: 322–5. [PubMed]
93. Gold MH. Photodynamic Therapy with Lasers and Intense Pulsed Light. *Facial Plast Surg Clin North Am* 2007; 15 :145–60. [PubMed]
94. Nestor MS. The use of photodynamic therapy for treatment of acne vulgaris. *Dermatol Clin* 2007; 25: 47–57. [PubMed]

95. Taylor MN, Gonzalez ML. The practicalities of photodynamic therapy in acne vulgaris. *Br J Dermatol* 2009; 160: 1140–8. [PubMed]
96. Bryld LE, Jemec GB. The bacterial flora of the skin surface following routine MAL-PDT. *J Dermatolog Treat* 2006; 17: 222–3. [PubMed]
97. Ceilley RI. Advances in the topical treatment of acne and rosacea. *J Drugs Dermatol* 2004; 3: S12–22. [PubMed]
98. DarrasVercambre S, Carpentier O, Vincent P, Bonnevalle A, Thomas P. Photodynamic action of red light for treatment of erythrasma: preliminary results. *Photodermatol Photoimmunol Photomed* 2006; 22: 153–6. [PubMed]
99. Yung A, Stables GI, Fernandez C, Williams J, Bojar RA, Goulden V. Microbiological effect of photodynamic therapy (PDT) in healthy volunteers: a comparative study using methyl aminolaevulinate and hexyl aminolaevulinate cream. *Clin Exp Dermatol* 2007; 32: 716–21. [PubMed]
100. CalzavaraPinton PG, Venturini M, Sala R. A comprehensive overview of photodynamic therapy in the treatment of superficial fungal infections of the skin. *J Photochem Photobiol B* 2005; 78: 1–6. [PubMed]
101. Donnelly RF, McCarron PA, Tunney MM. Antifungal photodynamic therapy. *Microbiol Res* 2008; 163: 1–12. [PubMed]
102. Donnelly RF, McCarron PA, Tunney MM, David Woolfson A. Potential of photodynamic therapy in treatment of fungal infections of the mouth. Design and characterisation of a mucoadhesive patch containing toluidine blue O. *J Photochem Photobiol B* 2006.
103. CalzavaraPinton PG, Venturini M, Capezzera R, Sala R, Zane C. Photodynamic therapy of interdigital mycoses of the feet with topical application of 5-aminolevulinic acid. *Photodermatol Photoimmunol Photomed* 2004; 20: 144–7. [PubMed]
104. Kim YJ, Kim YC. Successful treatment of pityriasis versicolor with 5-aminolevulinic acid photodynamic therapy. *Arch Dermatol* 2007; 143: 1218–20. [PubMed]
105. Sotiriou E, Koussidou T, Patsatsi A, Apalla Z, Ioannides D. 5-Aminolevulinic acid-photodynamic treatment for dermatophytic tinea pedis of interdigital type: a small clinical study. *J Eur Acad Dermatol Venereol* 2008.
106. Moravvej H, Dehghan-Mangabadi M, Abbasian MR, Meshkat-Razavi G. Association of rosacea with demodicosis. *Arch Iran Med* 2007; 10: 199–203. [PubMed]
107. Skrlin J, Richter B, Basta-Juzbasic A, Matica B, Ivacic B, Cvrlje M, Kucise N, Baucic A. Demodicosis and rosacea. *Lancet* 1991; 337: 734. [PubMed]
108. Yamasaki K, Di Nardo A, Bardan A, Murakami M, Ohtake T, Coda A, Dorschner RA, Bonnart C, Descargues P, Hovnanian A, Morhenn VB, Gallo RL. Increased serine protease activity and cathelicidin promotes skin inflammation in rosacea. *Nat Med* 2007; 13: 975–80. [PubMed]
109. Bryld LE, Jemec GB. Photodynamic therapy in a series of rosacea patients. *J Eur Acad Dermatol Venereol* 2007; 21: 1199–202. [PubMed]
110. Katz B, Patel V. Photodynamic therapy for the treatment of erythema, papules, pustules, and severe flushing consistent with rosacea. *J Drugs Dermatol* 2006; 5: 6–8. [PubMed]
111. Derkay CS, Wiatrak B. Recurrent respiratory papillomatosis: a review. *Laryngoscope* 2008; 118: 1236–47. [PubMed]
112. Shikowitz MJ, Abramson AL, Freeman K, Steinberg BM, Nouri M. Efficacy of DHE photodynamic therapy for respiratory papillomatosis: immediate and long-term results. *Laryngoscope* 1998; 108: 962–7. [PubMed]
113. Abramson AL, Shikowitz MJ, Mullooly VM, Steinberg BM, Amella CA, Rothstein HR. Clinical effects of photodynamic therapy on recurrent laryngeal papillomas. *Arch Otolaryngol Head Neck Surg* 1992; 118: 25–9. [PubMed]
114. Bujia J, Feyh J, Kastenbauer E. Photodynamic therapy with derivatives from hematoporphyrines for recurrent laryngeal papillomatosis of the children. Early results. *An Otorrinolaringol Ibero Am* 1993; 20: 251–9. [PubMed]

115. Ichimura H, Yamaguchi S, Kojima A, Tanaka T, Niiya K, Takemori M, Hasegawa K, Nishimura R. Eradication and reinfection of human papillomavirus after photodynamic therapy for cervical intraepithelial neoplasia. *Int J Clin Oncol* 2003; 8: 322–5. [PubMed]
116. AbdelHady ES, MartinHirsch P, DugganKeen M, Stern PL, Moore JV, Corbitt G, Kitchener HC, Hampson IN. Immunological and viral factors associated with the response of vulval intraepithelial neoplasia to photodynamic therapy. *Cancer Res* 2001; 61: 192–6. [PubMed]
117. Ross EV, Romero R, Kollias N, Crum C, Anderson RR. Selectivity of protoporphyrin IX fluorescence for condylomata after topical application of 5-aminolaevulinic acid: implications for photodynamic treatment. *Br J Dermatol* 1997; 137: 736–42. [PubMed]
118. Fehr MK, Chapman CF, Krasieva T, Tromberg BJ, McCullough JL, Berns MW, Tadir Y. Selective photosensitizer distribution in vulvar condyloma acuminatum after topical application of 5-aminolevulinic acid. *Am J Obstet Gynecol* 1996; 174: 951–7. [PubMed]
119. Chen K, Chang BZ, Ju M, Zhang XH, Gu H. Comparative study of photodynamic therapy vs CO<sub>2</sub> laser vaporization in treatment of condylomata acuminata: a randomized clinical trial. *Br J Dermatol* 2007; 156: 516–20. [PubMed]
120. Szeimies RM, Schleyer V, Moll I, Stocker M, Landthaler M, Karrer S. Adjuvant photodynamic therapy does not prevent recurrence of condylomata acuminata after carbon dioxide laser ablation-A phase III, prospective, randomized, bicentric, double-blind study. *Dermatol Surg* 2009; 35: 757–64. [PubMed]
121. Herzinger T, Wienecke R, Weisenseel P, Borelli C, Berking C, Degitz K. Photodynamic therapy of genital condylomata in men. *Clin Exp Dermatol* 2006; 31: 51–3. [PubMed]
122. Wang XL, Wang HW, Wang HS, Xu SZ, Liao KH, Hillemanns P. Topical 5-aminolaevulinic acid-photodynamic therapy for the treatment of urethral condylomata acuminata. *Br J Dermatol* 2004; 151: 880–5. [PubMed]
123. Schroeter CA, Pleunis J, van Nispenn tot Pannerden C, Reineke T, Neumann HA. Photodynamic therapy: new treatment for therapy-resistant plantar warts. *Dermatol Surg* 2005; 31: 71–5. [PubMed]
124. Stender IM, Lock-Andersen J, Wulf HC. Recalcitrant hand and foot warts successfully treated with photodynamic therapy with topical 5-aminolaevulinic acid: a pilot study. *Clin Exp Dermatol* 1999; 24: 154–9. [PubMed]
125. Stender IM, Na R, Fogh H, Gluud C, Wulf HC. Photodynamic therapy with 5-aminolaevulinic acid or placebo for recalcitrant foot and hand warts: randomised double-blind trial. *Lancet* 2000; 355: 963–6. [PubMed]
126. Stender IM, Borgbjerg FM, Villumsen J, Lock-Andersen J, Wulf HC. Pain induced by photodynamic therapy of warts. *Photodermat Photoimmunol Photomed* 2006; 22: 304–9. [PubMed]
127. Gold MH, Boring MM, Bridges TM, Bradshaw VL. The successful use of ALA-PDT in the treatment of recalcitrant molluscum contagiosum. *J Drugs Dermatol* 2004; 3: 187–90. [PubMed]
128. Scheinfeld N. Treatment of molluscum contagiosum: a brief review and discussion of a case successfully treated with adapalene. *Dermatol Online J* 2007; 13: 15. [PubMed]
129. Roome AP, Tinkler AE, Hilton AL, Montefiore DG, Waller D. Neutral red with photoactivation in the treatment of herpes genitalis. *Br J Vener Dis* 1975; 51: 130–3. [PMC free article] [PubMed]
130. Kaufman RH, Gardner HL, Brown D, Wallis C, Rawls WE, Melnick JL. Herpes genitalis treated by photodynamic inactivation of virus. *Am J Obstet Gynecol* 1973; 117: 1144–6. [PubMed]
131. Bockstahler LE, Lytle CD, Hellman KB. A review of photodynamic therapy for herpes simplex: benefits and potential risks. *N Y J Dent* 1975; 45: 148–57. [PubMed]
132. Myers MG, Oxman MN, Clark JE, Arndt KA. Failure of neutral-red photodynamic inactivation in recurrent herpes simplex virus infections. *N Engl J Med* 1975; 293: 945–9. [PubMed]
133. Friedrich EGJr, Kaufman RH, Lynch PJ, Woodruff D. Vulvar histology after

- neutral red photoinactivation of herpes simplex virus. *Obstet Gynecol* 1976; 48: 564–70. [PubMed]
134. Asilian A, Davami M. Comparison between the efficacy of photodynamic therapy and topical paromomycin in the treatment of Old World cutaneous leishmaniasis: a placebo-controlled, randomized clinical trial. *Clin Exp Dermatol* 2006.
135. Gardlo K, Horska Z, Enk CD, Rauch L, Megahed M, Ruzicka T, Fritsch C. Treatment of cutaneous leishmaniasis by photodynamic therapy. *J Am Acad Dermatol* 2003; 48: 893–6. [PubMed]
136. Sohl S, Kauer F, Paasch U, Simon JC. Photodynamic treatment of cutaneous leishmaniasis. *J Dtsch Dermatol Ges* 2007; 5: 128–30. [PubMed]
137. Gonzalez U, Pinart M, Reveiz L, Alvar J. Interventions for Old World cutaneous leishmaniasis. *Cochrane Database Syst Rev* 2008; CD005067. [PubMed]
138. Oliveira RR, SchwartzFilho HO, Novaes AB, Garlet GP, Souza RF, Taba M, ScombattiSouza SL, Ribeiro FJ. Antimicrobial photodynamic therapy in the non-surgical treatment of aggressive periodontitis: cytokine profile in gingival crevicular fluid, preliminary results. *J Periodontol* 2009; 80: 98–105. [PubMed]
139. Chondros P, Nikolidakis D, Christodoulides N, Rossler R, Gutknecht N, Sculean A. Photodynamic therapy as adjunct to non-surgical periodontal treatment in patients on periodontal maintenance: a randomized controlled clinical trial. *Lasers Med Sci* 2008.
140. Braun A, Dehn C, Krause F, Jepsen S. Short-term clinical effects of adjunctive antimicrobial photodynamic therapy in periodontal treatment: a randomized clinical trial. *J Clin Periodontol* 2008; 35: 877–84. [PubMed]
141. Christodoulides N, Nikolidakis D, Chondros P, Becker J, Schwarz F, Rossler R, Sculean A. Photodynamic therapy as an adjunct to non-surgical periodontal treatment: a randomized, controlled clinical trial. *J Periodontol* 2008; 79: 1638–44. [PubMed]
142. Qin YL, Luan XL, Bi LJ, Sheng YQ, Zhou CN, Zhang ZG. Comparison of toluidine blue-mediated photodynamic therapy and conventional scaling treatment for periodontitis in rats. *J Periodontal Res* 2008; 43: 162–7. [PubMed]
143. Garcez AS, Nunez SC, Hamblin MR, Ribeiro MS. Antimicrobial effects of photodynamic therapy on patients with necrotic pulps and periapical lesion. *J Endod* 2008; 34: 138–42. [PMC free article] [PubMed]
144. Pinheiro SL, Schenka AA, Neto AA, Souza CP, Rodriguez HM, Ribeiro MC. Photodynamic therapy in endodontic treatment of deciduous teeth. *Lasers Med Sci* 2008.
145. Savarino V, Zentilin P, Pivari M, Bisso G, Raffaella Mele M, Bilardi C, Borro P, Dulbecco P, Tessieri L, Mansi C, Borgonovo G, De Salvo L, Vigneri S. The impact of antibiotic resistance on the efficacy of three 7-day regimens against *Helicobacter pylori*. *Aliment Pharmacol Ther* 2000; 14: 893–900. [PubMed]
146. Jodlowski TZ, Lam S, Ashby CR., Jr Emerging therapies for the treatment of *Helicobacter pylori* infections. *Ann Pharmacother* 2008; 42: 1621–39. [PubMed]
147. WilderSmith CH, WilderSmith P, Grosjean P, VandenBergh H, Woodtli A, Monnier P, Dorta G, Meister F, Wagnieres G. Photoeradication of *Helicobacter pylori* using 5-aminolevulinic acid: preliminary human studies. *Lasers Surg Med* 2002; 31: 18–22. [PubMed]
148. Hamblin MR, Viveiros J, Yang C, Ahmadi A, Ganz RA, Tolkoff MJ. *Helicobacter pylori* accumulates photoactive porphyrins and is killed by visible light. *Antimicrob Agents Chemother* 2005; 49: 2822–7. [PMC free article] [PubMed]
149. Ganz RA, Viveiros J, Ahmad A, Ahmadi A, Khalil A, Tolkoff MJ, Nishioka NS, Hamblin MR. *Helicobacter pylori* in patients can be killed by visible light. *Lasers Surg Med* 2005; 36: 260–5. [PMC free article] [PubMed]
150. Lembo AJ, Ganz RA, Sheth S, Cave D, Kelly C, Levin P, Kazlas PT, Baldwin PC, 3rd, Lindmark WR, McGrath JR, Hamblin MR. Treatment of *Helicobacter pylori* infection with intra-gastric violet light phototherapy: A pilot clinical trial. *Lasers Surg Med* 2009; 41: 337–44. [PMC free article] [PubMed]

- 
151. Castano AP, Mroz P, Hamblin MR. Photodynamic therapy and anti-tumour immunity. *Nat Rev Cancer* 2006; 6: 535–45. [PMC free article] [PubMed]
  152. Komerik N, Wilson M, Poole S. The effect of photodynamic action on two virulence factors of gram-negative Photodynamic therapy for localized infections bacteria. *Photochem Photobiol* 2000; 72: 676–80. [PubMed]

## سؤالات

۱) کدامیک از گزینه های زیر جز روش های ایجاد مقاومت در باکتریها میباشد؟

الف) جهش

ب) انتقال پلاسمیدهای کد کننده آنزیمهها

ج) انتقال پلاسمیدهای کد کننده Efflux pumps

د) همه موارد

۲) کدامیک مکانیسم اثر PDT میباشد؟

الف) PS+Bacteria → singlet oxugen

ب) light+ Bacteria → singlet oxugen

ج) PS+ light+ Bacteria → ROS

د) هیچکدام

۳) ترتیب آسانی ورود PS به داخل میکروارگانیسمها در کدام گزینه صحیح است؟

الف) قارچها > باکتریهای گرم مثبت > باکتریهای گرم منفی

ب) باکتریهای گرم مثبت > قارچها > باکتریهای گرم منفی

ج) باکتریهای گرم منفی > باکتریهای گرم مثبت > قارچها

د) باکتریهای گرم منفی > قارچها > باکتریهای گرم مثبت

۴) کدام جمله صحیح میباشد؟

الف) اگر باکتری در محیط کم Pr باشد PDI مؤثرer است.

ب) اگر باکتری در محیط با Pr زیاد باشد PDI مؤثرer است.

ج) اصولاً میزان Pr در موقوفیت PDI تاثیری ندارد.

د) هیچکدام

۵) ... LUX operon

الف) اپرون کنترل کننده بیان ژنهای مربوط به بیولومنسنس میباشد.

ب) اپرون تشدید کننده بیان ژنهای مربوط به بیولومنسنس میباشد.

ج) اپرون کاهش دهنده بیان ژنهای مربوط به بیولومنسنس میباشد.

د) هیچکدام

۶) Bioluminescence ... یعنی ...

الف) تابش نور از باکتریهایی که در آنها PS به صورت خارجی وارد شده است.

ب) تابش نور از باکتری، بدون حضور PS خارجی

ج) تابش نور از باکتریهای دارای ژنهای Luciferase

د) ب و ج

۷) کدامیک از حساسگرها نوری زیر جز دسته فنوتیازینیوم میباشند؟

الف) ALA

ب) TBO

ج) MB

د) ب و ج

۸) روند ایجاد التهاب حاد به کدامیک شبیه تر است؟

الف) مکانیسم درمانی PDT در سرطان

ب) مکانیسم درمانی PDT در عفونتهای پوستی

ج) مکانیسم درمانی PDT در عفونتهای دندانی

د) مکانیسم درمانی PDT در عفونتهای دستگاه گوارش

۹) در اکثر عفونتهای دندانی راجعه معمولاً کدام پاتوژن دیده می‌شود؟

- (الف) *P.gigivalis*
- (ب) *T.denticula*
- (ج) *E.faecalis*
- (د) *Actinomyces*

۱۰) PDT در مقایسه با SRP در بیماران مبتلا به پریودنتیت مهاجم

- (الف) اثر بیشتری روی TNF- $\alpha$  و cervical RANKL دارد.
- (ب) اثر کمتری روی TNF- $\alpha$  و cervical RANKL دارد.
- (ج) اثرباره‌ی روی TNF- $\alpha$  و cervical RANKL دارد.
- (د) هیچگونه اثری روی TNF- $\alpha$  و cervical RANKL ندارد.

Tianhong Daia,<sup>a,b</sup>, Ying-Ying Huang<sup>a,b,c</sup>, Michael R. Hamblin PhDa,<sup>b,d,\*</sup>